

บทที่ 2

หลักการทางวิชาการ

2.1 ทฤษฎีเกี่ยวกับฝุ่นละอองในบรรยากาศ

2.1.1 การจำแนกฝุ่นละออง

ฝุ่นละออง (aerosol) ในที่นี้ หมายถึง อนุภาคของแข็งขนาดเล็กที่แพร่悬浮อยู่ในอากาศ มีทั้งที่เกิดจากธรรมชาติและเกิดจากกิจกรรมของมนุษย์ ฝุ่นละอองที่เกิดจากธรรมชาติส่วนใหญ่ได้แก่ ฝุ่นละอองที่มาจากการเปลือกโลก (crustal aerosol) และฝุ่นละอองที่มีแหล่งกำเนิดจากน้ำทะเล (maritime aerosol)

ฝุ่นละอองที่มีแหล่งกำเนิดมาจากเปลือกโลกจะเกิดจากการกัดกร่อนของลมต่อเปลือกโลก ซึ่งอาจเป็นพื้นดิน ทรัพย์หรือหิน เป็นต้น โดยจะฟุ้งกระจายไปตามกระแสลม เราเรียกฝุ่นละอองที่เกิดจากการฟุ้งนี้ว่า “ฝุ่นละอองแบบ continental” ส่วนฝุ่นละอองที่มีแหล่งกำเนิดจากน้ำทะเลจะเกิดจากการที่น้ำทะเลระเหยเป็นฝอยลอยขึ้นไปในอากาศเนื่องจากลมและคลื่น และระเหยเป็นอนุภาคเล็กๆ ของละอองเกลือแทรกตัวอยู่ในบรรยากาศ ซึ่งเราจะเรียกฝุ่นละอองนี้ว่า “ฝุ่นละอองแบบ maritime”

ฝุ่นละอองที่เกิดจากกิจกรรมของมนุษย์ส่วนใหญ่มีแหล่งกำเนิดจากโรงงานอุตสาหกรรมและยวดยานพาหนะต่างๆ โดยฝุ่นละอองจากโรงงานอุตสาหกรรมจะเกิดจากการเผาไหม้เชื้อเพลิงที่ใช้ในกระบวนการต่างๆ และเกิดจากการบวนการผลิตที่มีการบดของแข็งให้ละเอียดเป็นอนุภาคเล็กๆ เช่น ฝุ่นละอองจากโรงสี และโรงโม่หิน เป็นต้น ฝุ่นละอองที่เกิดจากเขม่าที่ได้จากการเผาไหม้เชื้อเพลิงในเครื่องยนต์และถูกปลดปล่อยออกมาน้ำสู่บรรยากาศภายนอก จะเกิดในชุมชนเมือง ซึ่งจะเรียกว่า “ฝุ่นละอองแบบ urban”

เนื่องจากฝุ่นละอองจะดูดกลืนและกระเจิงรังสีดวงอาทิตย์ ดังนั้นฝุ่นละอองจึงทำให้รังสีดวงอาทิตย์ที่เคลื่อนที่ผ่านบรรยากาศมีค่าลดลง โดยเฉพาะอย่างยิ่งในบริเวณที่บรรยากาศมีมลพิษสูง จากการศึกษาของสถาบันต์ โพธิ์เกตุ (2542) พบว่า ฝุ่นละอองมีบทบาทสำคัญที่ทำให้ความเข้มรังสีดวงอาทิตย์ลดลงถึง 20% นอกจากนี้ฝุ่นละอองยังส่งผลกระทบต่อสุภาพอีกด้วย

2.1.2 องค์ประกอบของฝุ่นละอองในบรรยากาศ

Tanre et al. (1986) ได้จำแนกองค์ประกอบของฝุ่นละออง ดังนี้

- 1) dust-like component (DL)
- 2) oceanic component (OC)
- 3) water-soluble component (WS)
- 4) soot component (SO)

เมื่อองค์ประกอบทั้ง 4 ผสมกันคิดเป็นเปอร์เซ็นต์ตามปริมาตร Tanre et al. (1986) ได้จำแนกฝุ่นละอองในอากาศเป็น 3 แบบ คือ

- 1) แบบ continental เป็นฝุ่นละอองที่มาจากการพื้นที่ป่าปึงเป็นการผสมกันขององค์ประกอบต่างๆ ดังนี้คือ องค์ประกอบที่มีลักษณะเป็นผงฝุ่น (DL) 70% องค์ประกอบที่เป็นสารละลายน้ำได้ (WS) 29% และองค์ประกอบจำพวกเน่าคาว (SO) 1%
- 2) แบบ maritime เป็นฝุ่นละอองที่มาจากการเดินทางไกล ซึ่งประกอบด้วยองค์ประกอบที่เป็นสารละลายน้ำได้ (WS) 5% และองค์ประกอบที่มาจากการเดินทางไกลหรือละอองเกลือ (OC) 95%
- 3) แบบ urban เป็นฝุ่นละอองที่มาจากการเมือง ซึ่งเป็นการผสมกันขององค์ประกอบต่างๆ ดังนี้คือ องค์ประกอบที่มีลักษณะเป็นผงฝุ่น (DL) 17% องค์ประกอบที่เป็นสารละลายน้ำได้ (WS) 61% และองค์ประกอบจำพวกเน่าคาว (SO) 22%

ตารางที่ 2.1 อัตราส่วนผสมขององค์ประกอบที่รวมกันเป็นฝุ่นละอองชนิดต่างๆ (Tanre et al., 1987)

TYPE	Component (%)			
	dust-like component (DL)	water-soluble component (WS)	oceanic component (OC)	soot component (SO)
CONTINENTAL	70	29	0	1
MARITIME	0	5	95	0
URBAN	17	61	0	22

2.1.3 ขนาดของฝุ่นละออง

ฝุ่นละอองแต่ละชนิดอาจมีขนาดแตกต่างกัน โดยสามารถแบ่งได้ดังนี้ (Dubovik et al., 2001)

- 1) ฝุ่นละอองจากทะเลทราย (desert dust aerosol) มีขนาดตั้งแต่ $0.5 \mu\text{m}$ ขึ้นไป
- 2) ฝุ่นละอองจากการเผาไหม้ชีวมวล (biomass burning aerosol) มีขนาด $0.1 - 0.5 \mu\text{m}$
- 3) ฝุ่นละอองจากชุมชนและอุตสาหกรรม (urban and industrial aerosol) มีขนาดใกล้เคียงกัน กับฝุ่นละอองจากการเผาไหม้ชีวมวล
- 4) ฝุ่นละอองจากทะเล (maritime aerosol) มีขนาดตั้งแต่ $1 \mu\text{m}$ ขึ้นไป

การแจกแจงทางสถิติของขนาดของฝุ่นละอองมีผู้เสนอไว้หลายแบบ ดังต่อไปนี้ในตารางที่ 2.2 (Van de Hulst, 1980)

ตารางที่ 2.2 ตัวอย่างการแจกแจงขนาดของฝุ่นละอองแบบต่างๆ

Name	Function form	Adjusting parameter	Total number of particles
Junge	$f(r) = Cr^{-p}, r_a < r < b$	p, r_a, r_b ($p > 0$)	$C \frac{(r_a^{1-p} - r_b^{1-p})}{(p-1)}$
Gamma	$f(r) = Cr^\alpha \exp(-br^\gamma)$	b, α, γ	$C \frac{\Gamma[(\alpha+1)/\gamma]}{\gamma b^{(\alpha+1)/\gamma}}$
Log-normal	$f(r) = \frac{C}{r\sqrt{2\pi}\ln\sigma_g} \exp\left\{-\frac{(\ln r - \ln r_g)^2}{2\ln^2\sigma_g}\right\}$	r_g, σ_g ($\sigma_g > 0$)	C

เมื่อ $f(r)$ คือ พิสัยชั้นของการแจกแจงขนาดของฝุ่นละออง
 r คือ รัศมีของฝุ่นละออง

สำหรับฝุ่นละอองในเขตศูนย์สูตรซึ่งประกอบด้วยฝุ่นละอองจากการเผาไหม้ชีวมวล และฝุ่นละอองจากโรงงานอุตสาหกรรม โดยทั่วไปการแจกแจงจะเป็นแบบ Bimodal – log normal volume distribution ซึ่งเขียนได้ดังสมการ

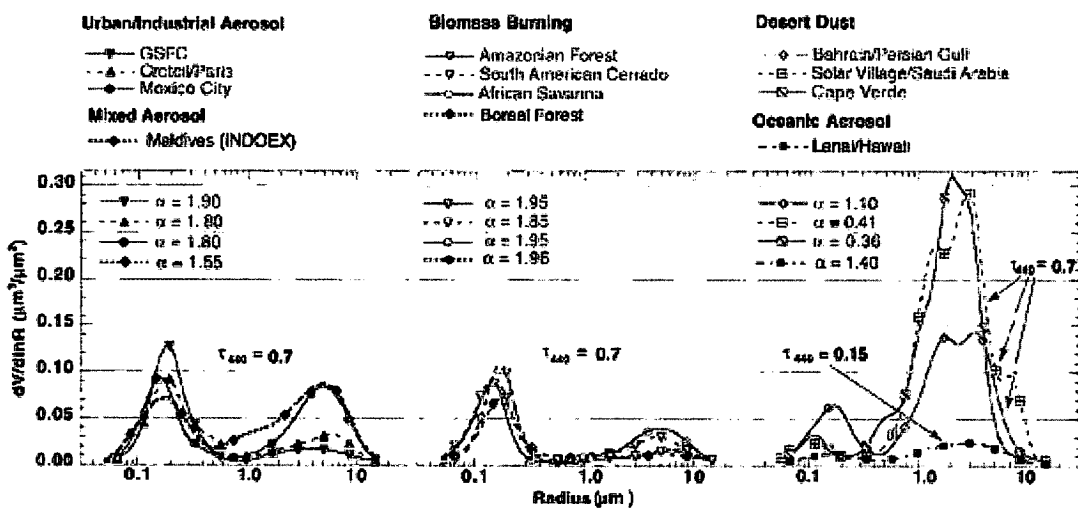
$$\frac{dV}{d\ln r} = \sum_{i=1}^2 \frac{C_{V,i}}{\sqrt{2\pi}\sigma_i} \exp\left[-\frac{(\ln r - \ln r_{V,i})^2}{2\sigma_i^2}\right] \quad (2.1)$$

โดยที่ $C_{V,i}$ คือ ความเข้มข้นเฉิงปริมาตรของฝุ่นละออง (volume concentration)

$r_{V,i}$ คือ มัธยฐาน (median) ของรัศมีการแจกแจงของฝุ่นละออง

σ_i คือ ส่วนเบี่ยงเบนมาตรฐาน (standard deviation)

Dubovik และคณา (2002) ได้ทำการศึกษาการแจกแจงขนาดของฝุ่นละออง โดยอาศัยข้อมูลจากเครือข่ายการวัดฝุ่นละออง AERONET ของ NASA ผลที่ได้แสดงดังรูปที่ 2.1



รูปที่ 2.1 ลักษณะการแจกแจงขนาดของฝุ่นละอองชนิดต่างๆ (Dubovik et al., 2002)

จากรูปที่ 2.1 จะเห็นว่าฝุ่นละอองส่วนใหญ่จะมีการแจกแจงเป็น 2 peak โดยมีค่าสูงสุดของแต่ละ peak แตกต่างกันตามชนิดของฝุ่นละออง จากลักษณะของการแจกแจงสามารถนำมาใช้จำแนกชนิดของฝุ่นละอองได้

2.1.4 การเกิดฝุ่นละอองในบรรยากาศ

Warneck (1988) ได้ศึกษาอัตราการเกิดของฝุ่นละอองจากธรรมชาติและมนุษย์ในบรรยากาศชั้นโตรโพสเฟียร์ (troposphere) จากการศึกษาพบว่ามีการปล่อยฝุ่นละอองขึ้นสู่บรรยากาศประมาณ 2,400 Tg/ปี ($1 \text{ Tg} = 10^{12} \text{ กรัม}$) ในจำนวนนี้ประมาณ 1,000 Tg/ปี มีแหล่งกำเนิดมาจากทะเล และประมาณ 500 Tg/ปี มีแหล่งกำเนิดมาจากการเปลือกโคลน ประมาณ 240 Tg/ปี เกิดจากการบวนการทางเคมีในบรรยากาศตามธรรมชาติที่ทำให้เกิดอนุภาคของซัลไฟต์ (sulphate particle) และประมาณ 220 Tg/ปี เป็นอนุภาคซัลไฟต์ที่เกิดจากกิจกรรมของมนุษย์ นอกจากนี้การปลดปล่อยฝุ่นละอองจากกิจกรรมของมนุษย์ เช่น จากยวดยานพาหนะและกระบวนการในอุตสาหกรรมประมาณ 130 Tg/ปี ซึ่งถือว่าน้อยเมื่อเทียบกับฝุ่นละอองที่มีอยู่ในบรรยากาศชั้นโตรโพสเฟียร์

2.1.5 กระบวนการเกิดฝุ่นละออง

2.1.5.1 ฝุ่นละอองที่เกิดจากทะเล (maritime aerosol)

ฝุ่นละอองที่เกิดจากทะเลจะเป็นอนุภาคของละอองเกลือ (sea-salt aerosol) ซึ่งเกิดจากการแตกของฟองอากาศที่ผิวทะเล ฟองเหล่านี้อาจเกิดขึ้นจากการบวนการทางชีววิทยา ปฏิกิริยาเคมี หรือการกระเพื่อมของน้ำทะเลเนื่องจากลม ถ้าความเร็วลมมีค่ามากกว่า 3 m/s จะทำให้สันคลื่นแตกกระจายเป็นฝอยและเกิดฟองอากาศขึ้น โดยขนาดของฟองอากาศมีค่าตั้งแต่ 2-3 μm จนถึง 10 μm ฟองเหล่านี้

จะมีผิวเป็นพิล์มน้ำ ของน้ำทะเล ซึ่งเมื่อแตกออกก็จะเกิดเป็นหยดน้ำเล็กๆ จำนวนมาก เมื่อถูกกระแสลมพัดฟุ้งกระจายไปในอากาศ หยดน้ำเหล่านี้จะระเหยกลายเป็นไอน้ำทำให้เกิดอนุภาคของเกลือฟุ้งกระจายอยู่ในอากาศ โดยมีขนาดตั้งแต่ $0.25-2.0 \mu\text{m}$ Wolff และคณะ (1987) ได้ศึกษาในกรณีที่ความเร็วลมมีค่าสูงกว่า 10 m/s จะมีการพุ่งของน้ำขึ้นไปในอากาศจากสันคลื่นและเกิดละอองน้ำขนาดใหญ่ ซึ่งอาจทำให้เกิดอนุภาคของเกลือที่มีเส้นผ่านศูนย์กลางประมาณ $9 \mu\text{m}$ ได้ จากการศึกษาของ Fairall และคณะ (1983) พบว่าปริมาณเกลือที่เกิดขึ้นต่อพื้นที่ชายฝั่งทะเลที่ความเร็วลม 6 m/s มีค่า $5.5 \times 10^{-8} \text{ g/m}^2\text{s}$ โดยทั่วไปองค์ประกอบทางเคมีของฝุ่นละอองที่เกิดขึ้นจากน้ำทะเลจะเหมือนองค์ประกอบของน้ำทะเลกล่าวคือส่วนใหญ่จะเป็นโซเดียมคลอไรด์ซึ่งสามารถดูดคลื่นและถ่ายความชื้นได้

2.1.5.2 ฝุ่นละอองที่เกิดจากการเปลี่ยนจากก้าชไปเป็นอนุภาค (gas-to-particle)

ตามปกติซัลเฟอร์ไดออกไซด์ซึ่งเป็นแหล่งกำเนิดของกรดซัลฟิวริก จะพนในบรรยากาศเหนือพื้นดิน โดยส่วนใหญ่ปล่อยมาจากการโรงงานอุตสาหกรรม แต่อย่างไรก็ตามมีการคืนพนสารดังกล่าวเหนือพื้นน้ำในท้องทะเลที่ห่างจากชายฝั่งมาก โดยแหล่งกำเนิดของก้าชดังกล่าวมาจากการแพลงค์ตอนในน้ำทะเล ฝุ่นละอองที่เกิดจากการบวนการดังกล่าวจะมีขนาดเล็ก

2.1.5.3 ฝุ่นละอองที่มีแหล่งกำเนิดจากเปลือกโลก (coarse aerosol)

ฝุ่นละอองชนิดนี้มีกระบวนการเกิดจากแรงทางกลศาสตร์เป็นหลัก โดยทั่วไปจะเกิดจากการสึกกร่อนของดิน หิน หรือของแข็งอื่นๆ อันเนื่องมาจากการแปรรูป โดยลมจะทำให้ออนุภาคของแข็งหลุดออกจากวัตถุและฟุ้งกระจายไปตามทิศทางการไหลของกระแสลม อนุภาคของฝุ่นละอองดังกล่าวจะมีรูปร่างไม่แน่นอน และเป็นฝุ่นละอองขนาดใหญ่ซึ่งมีขนาดตั้งแต่ $40-100 \mu\text{m}$

2.1.5.4 ฝุ่นละอองที่เกิดจากการกิจกรรมของมนุษย์

เป็นฝุ่นละอองที่เกิดจากการบวนการผลิตในอุตสาหกรรมและยวดยาน ซึ่งส่วนใหญ่จะเกิดในกระบวนการเผาไหม้ในเครื่องยนต์ต่างๆ มีทั้งอนุภาคแบบเอียดและแบบหยาบ เช่น เตาเผาและควันไฟ เป็นต้น บางครั้งอาจจะอยู่ในรูปของเหลวหรือของผสมระหว่างของเหลวและของแข็ง โดยมีกระบวนการอยู่อย่างหนาแน่นในย่านอุตสาหกรรมและชุมชนเมือง

2.1.6 การเปลี่ยนแปลงของฝุ่นละอองในช่วงเวลาที่อยู่ในบรรยากาศ

เมื่อฝุ่นละอองฟุ้งกระจายจากแหล่งกำเนิดขึ้นสู่บรรยากาศโดยทั่วไปจะมีการเปลี่ยนแปลงขนาด รูปร่างและจำนวนอนุภาค ซึ่งบางครั้งจะมีการเปลี่ยนแปลงทางเคมีด้วย ซึ่งสามารถจำแนกได้ดังนี้

2.1.6.1 การเชื่อมติดกัน (coagulation)

เป็นกระบวนการที่ฝุ่นละอองซึ่งมีการเคลื่อนที่แบบบริวนเนียน (Brownian motion) มาชนกันและเชื่อมติดกันเป็นอนุภาคเดียว กระบวนการนี้จะทำให้ออนุภาคขนาดเล็กลดจำนวนลงและมีอนุภาคขนาดใหญ่เพิ่มขึ้น โดยทั่วไปกระบวนการเชื่อมติดกันนี้จะเกิดขึ้นจากอนุภาคขนาดเล็กเท่านั้น

2.1.6.2 การกลับตัวของไอสารบนอนุภาคของฝุ่นละออง (heterogeneous condensation)

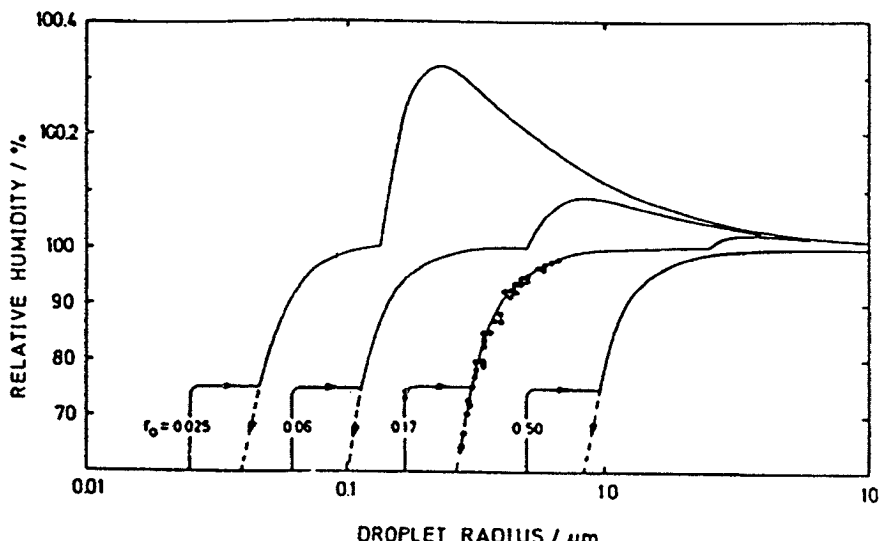
ไอสารดังกล่าวอาจเป็นไอน้ำหรือไอของสารอื่นๆ กระบวนการนี้เกิดจากไอสารในบรรยากาศกลับตัวที่ผิวอนุภาคของฝุ่นละอองจะทำให้ออนุภาคของแข็งมีขนาดใหญ่ขึ้น โดยกระบวนการดังกล่าวจะเกิดขึ้นจนกระทั่งถึงจุดสมดุล กล่าวคือเมื่อถึงจุดสมดุลอัตราการกลับตัวจะเท่ากับอัตราการระเหย โดยทั่วไปอัตราการได้ชื่นของอนุภาคของแข็งเนื่องจากการกลับตัวจะถูกควบคุมด้วยอัตราการชนระหว่างอนุภาคของไอสารกับอนุภาคของฝุ่นละออง Hoppel และคณะ (1994) ได้ศึกษากระบวนการดังกล่าวที่เกิดขึ้นกับฝุ่นละอองที่มีแหล่งกำเนิดจากน้ำทะเลและพบว่าขนาดของอนุภาคจะเพิ่มขึ้นจาก $0.005 \mu\text{m}$ เป็น $0.02 \mu\text{m}$ ในช่วงระยะเวลาประมาณ 1.4 วัน โดยทั่วไปการเปลี่ยนแปลงของฝุ่นละอองโดยกระบวนการกลับตัวของไอสารบนอนุภาคของแข็งเกิดขึ้นมากกว่าการเชื่อมติดกันประมาณ 10 เท่า

2.1.6.3 การเกิดปฏิกิริยา กับออกซิเจน

เป็นกระบวนการที่ฝุ่นละอองทำปฏิกิริยากับออกซิเจนในบรรยากาศทำให้เกิดเป็นสารใหม่ เช่น ซัลเฟอร์ไดออกไซด์ (SO_2) ที่ละลายอยู่ในละอองน้ำจากทะเล ปฏิกิริยาดังกล่าวจะเกิดเร็วขึ้น เมื่อมีตัวเร่งปฏิกิริยาเป็นไอออนของธาตุหนัก เช่น ไอออนของเหล็ก และแมงกานีส เป็นต้น กระบวนการนี้เป็นกระบวนการที่สำคัญในการทำให้กำมะถันที่อยู่ในละอองน้ำทะเลลดลง เนื่องจากทำปฏิกิริยากับออกซิเจน ทำให้มีมวลเพิ่มขึ้นและร่วงหล่นลงสู่พื้นได้เร็วขึ้น

2.1.6.4 การโตขึ้นของอนุภาคฝุ่นละอองเนื่องจากความชื้นในบรรยากาศ

เนื่องจากฝุ่นละอองที่เป็นอนุภาคของแข็งมักเป็นสารที่สามารถดูดและ Haley ความชื้นได้ ดังนั้นฝุ่นละอองในบรรยากาศที่ดูดกลืนความชื้นเข้าไปจะมีมวลเพิ่มขึ้นขณะที่ฝุ่นละอองที่คายความชื้นจะมีมวลลดลง การดูดและ Haley ความชื้นจะขึ้นกับชนิดของฝุ่นละออง ความชื้นสัมพัทธ์ และอุณหภูมิของบรรยากาศ Warneck (1988) ได้ศึกษาการเปลี่ยนแปลงขนาดของฝุ่นละอองที่เป็นอนุภาคโซเดียมคลอไรด์ (NaCl) ที่ความชื้นสัมพัทธ์ค่าต่างๆ ผลที่ได้แสดงไว้ในรูปที่ 2.2 จากภาพจะเห็นว่าการเพิ่มชื้นและการลดลงของขนาดของอนุภาคจะไม่ย้อนรอยเดิม แต่มีลักษณะเป็น hysteresis cycles ซึ่งเป็นคุณสมบัติโดยทั่วไปของสารที่ดูดและ Haley ความชื้นได้ (hygroscopic material)



รูปที่ 2.2 การเปลี่ยนแปลงขนาดของอนุภาค NaCl ที่ความชื้นต่างๆ โดยเส้นทึบแสดงการเพิ่มขึ้นของขนาดของอนุภาคเมื่อความชื้นเพิ่มขึ้น และเส้นประแสดงการลดลงของขนาดของอนุภาคเมื่อความชื้นลดลง (Warneck, 1988)

2.1.6.5 กระบวนการดูดกลืนก๊าซของเมฆ

โดยทั่วไปเมฆประกอบด้วยละอองน้ำเล็กๆ ซึ่งสามารถดูดกลืนก๊าซต่างๆ ได้ เมื่อดูดกลืนก๊าซบางชนิด เช่น ชัลเฟอร์ไดออกไซด์ และไอโอดิน จะสามารถเกิดปฏิกิริยา กับสารบางชนิดที่ละลายอยู่ในละอองน้ำเหล่านั้น ถ้าเป็นอนุภาคของแข็ง ได้ Langner และคณะ(1992) ได้ทำการศึกษาปริมาณชัลเฟอร์ไดออกไซด์ ในบรรยากาศและพบว่าเพียง 14% เท่านั้นที่ทำปฏิกิริยากับออกซิเจน ถ้าเป็น H_2SO_4 ส่วนอีกครึ่งหนึ่งของปริมาณชัลเฟอร์ไดออกไซด์จะถูกนำออกไปจากบรรยากาศโดยการร่วงหล่นสู่พื้น (dry deposition) และส่วนที่เหลือจะทำปฏิกิริยากับออกซิเจนในละอองน้ำเล็กๆ ที่ประกอบเป็นเมฆ

2.1.7 กระบวนการที่ผุ่นละอองหายออกไปจากบรรยากาศ (removal mechanisms)

ผุ่นละอองจากแหล่งกำเนิดต่างๆ มีการปลดปล่อยขึ้นสู่บรรยากาศและระหว่างที่อยู่ในบรรยากาศจะมีการเปลี่ยนแปลงขนาดและจำนวนด้วยกระบวนการต่างๆ หลังจากนั้นจะหายออกไปจากบรรยากาศด้วยกระบวนการต่างๆ ดังนี้

2.1.7.1 การร่วงหล่นสู่พื้นโดยไม่เกี่ยวข้องกับการกลับตัว (dry deposition)

กระบวนการนี้เกิดจากการที่ผุ่นละอองถูกแรงโน้มถ่วงดึงดูดให้ตกลงสู่พื้นผิวโลกโดยไม่มีการควบแน่นเข้ามาเกี่ยวข้อง กระบวนการดังกล่าวจะขึ้นกับเงื่อนไขทางด้านอุตุนิยมวิทยา ใกล้พื้นโลก ความหยาบของพื้นผิวโลก (surface roughness) คุณสมบัติทางฟิสิกส์ และเนื้องอนุภาคผุ่นละออง

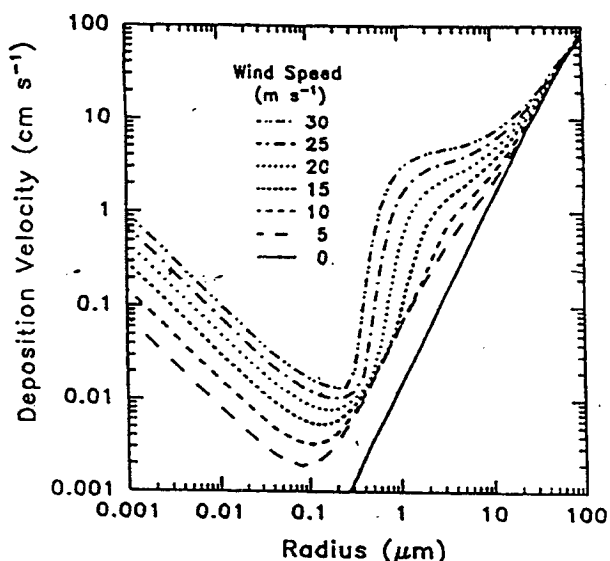
โดยทั่วไปจะวัดอัตราการร่วงหล่นในรูปฟลักซ์ของอนุภาคต่อความเข้มข้นของอนุภาค ใกล้พื้นผิวโลก โดยอัตราการร่วงหล่นจะถูกควบคุมโดยแรงโน้มถ่วงและความปั่นป่วน (turbulent) ของบรรยากาศ การร่วงหล่นโดยอิทธิพลจากแรงโน้มถ่วงของอนุภาคที่มีขนาดใหญ่กว่า $1 \mu\text{m}$ ที่ความเร็วลมเป็นศูนย์จะสามารถคำนวณความเร็วสุดท้าย (terminal velocity) ได้จากสมการ (Valiente, 1996)

$$V_t = (2.38 \times 10^{-4}) r^2 \quad (2.2)$$

เมื่อ V_t เป็นความเร็วสุดท้าย (m/s)

r เป็นรัศมีของอนุภาค (μm)

Smith และคณะ (1993) ได้ศึกษาความเร็วของการร่วงหล่นของฝุ่นละอองที่มีขนาดอนุภาคต่างๆ และที่ความเร็วลมค่าต่างๆ เหนือพื้นน้ำทะเลซึ่งมีความชื้นสัมพัทธ์ 98.3% พบว่าอนุภาคที่มีขนาดใหญ่กว่า $10 \mu\text{m}$ จะมีความเร็วของการร่วงหล่นด้วยอิทธิพลเหมือนกับกรณีการร่วงหล่นเกิดจากแรงโน้มถ่วง ส่วนอนุภาคที่มีขนาด $1-10 \mu\text{m}$ ความเร็วของการร่วงหล่นจะขึ้นกับความเร็วลม โดยผลการศึกษาแสดงไว้ดังกราฟรูปที่ 2.3



รูปที่ 2.3 ความเร็วของการร่วงหล่นของฝุ่นละอองที่ค่ารัศมีต่างๆ (Smith et al., 1993)

2.1.7.2 การร่วงหล่นสู่พื้นโดยเกี่ยวข้องกับการกลั่นตัว (wet deposition)

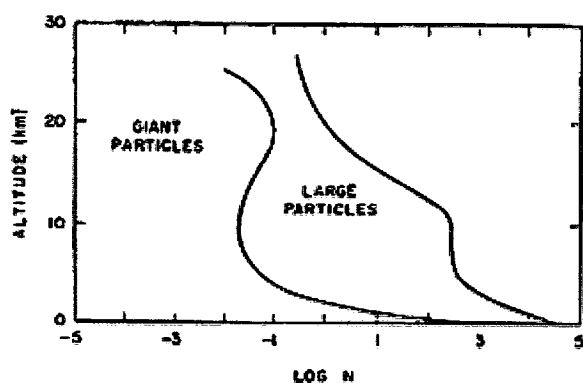
กระบวนการนี้เป็นกรณีลดจำนวนฝุ่นละอองในบรรยากาศเนื่องจากการกลั่นตัวของเมฆ กลไกเป็นฝนตกลงพื้นผิวโลก โดยสามารถแบ่งออกเป็น 2 กรณี ได้แก่ กระบวนการที่เกิดภายในเมฆ (in-cloud process) และกระบวนการที่เกิดขึ้นใต้เมฆ (below-cloud process) กระบวนการที่เกิดภายในเมฆ เกิดจากการกลั่นตัวของไอน้ำบนฝุ่นละออง จนมีขนาดใหญ่กลไกเป็นฝนตกลงสู่พื้นผิวโลก

กระบวนการนี้เกิดขึ้นกับอนุภาคที่มีขนาดใหญ่กว่า $0.1 \mu\text{m}$ โดยจะเกิดขึ้นกับอนุภาคขนาดใหญ่ก่อน หลังจากนั้นจะเกิดกับอนุภาคที่มีขนาดเล็กโดยทั่วไปอัตราการกลั่นตัวจะช้าลงเมื่อหยดน้ำมีขนาดใหญ่ขึ้น

กรณีกระบวนการที่เกิดใต้เมฆจะเกิดขึ้นเมื่อเมฆกลั่นตัวเป็นฝน โดยผู้นองละอองที่อยู่ในแนวทางการเคลื่อนที่ของเม็ดฝนก็จะถูกจับโดยฝนและร่วงหล่นลงสู่พื้นผิวโลก กระบวนการนี้เกิดขึ้นมากกับอนุภาคที่มีขนาดโตกว่า $2 \mu\text{m}$ แต่ผู้นองละอองที่มีขนาดในช่วง $0.1-2 \mu\text{m}$ จะได้รับผลกระทบจากการที่เกิดใต้เมฆเพียงเล็กน้อยเท่านั้น ดังนั้นกระบวนการดังกล่าวจึงเป็นผลที่สำคัญต่อผู้นองละอองที่มีขนาดใหญ่เท่านั้น

2.1.8 การกระจายของฝุ่นละอองตามความสูงจากพื้นผิวโลก

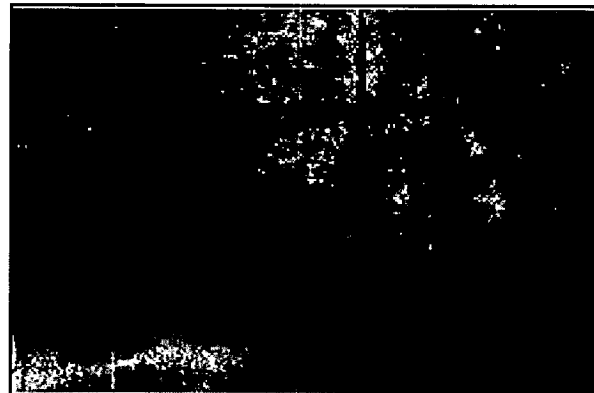
โดยทั่วไปผู้นองละอองจะมีปริมาณเปลี่ยนแปลงตามความสูงจากพื้นผิวโลก การเปลี่ยนแปลงนี้ทำให้สามารถแบ่งชั้นของผู้นองละอองได้เป็น ผู้นองละอองในชั้น boundary layer ซึ่งจะอยู่ที่ระดับความสูง 0-2 กิโลเมตรและผู้นองละอองอิสระในชั้น โทร โพสฟีเยอร์ (troposphere) อยู่ที่ระดับความสูง 2-11 กิโลเมตร จากนั้นจะเป็นผู้นองละอองที่อยู่ในชั้นสตราโทรฟีเยอร์ (stratosphere) ที่ระดับความสูงมากกว่า 11 กิโลเมตร ปริมาณของผู้นองละอองที่พบในระดับความสูงต่างๆ สามารถแสดงได้ดังรูปที่ 2.4



รูปที่ 2.4 ปริมาณและชนิดของผู้นองละออง ที่พบที่ระดับความสูงต่างๆ ของบรรยากาศ (N เป็นจำนวนของอนุภาคต่อลูกบาศก์เซนติเมตร) (Iqbal, 1983)

2.1.9 ผลของผู้นองละอองที่มีต่อแสง

ผู้นองละอองในบรรยากาศมีความสามารถในการตัดตอนแสงทั้งโดยตรงและโดยอ้อม คุณสมบัติที่มีผลต่อแสงโดยตรงได้แก่ การกระเจิงแสง (scattering) การดูดกลืนแสง (absorption) การหักเหแสง (refraction) และคุณสมบัติที่มีผลต่อแสงโดยอ้อม คือ การที่ผู้นองละอองเป็นแกนกลางของการควบแน่นของไอน้ำในเมฆ ซึ่งจะมีผลต่อการเกิดฝน เมื่อสายแสงผ่านผู้นองละอองจะทำให้เห็นลำแสงเนื่องจากทำให้เกิดการกระเจิงแสงของผู้นองละออง ปรากฏการณ์นี้เรียกว่า ผลทินดอลล์ (Tyndall effect)

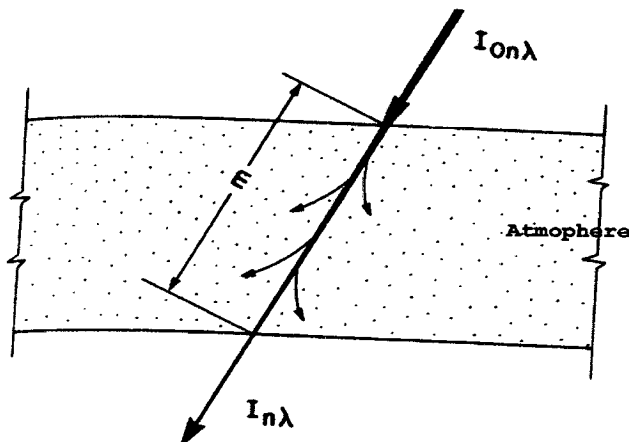


รูปที่ 2.5 ปรากฏการณ์ทินดอลล์ที่ทำให้มองเห็นแสงเป็นลำ เนื่องมาจากการกระเจิงแสงของฝุ่นละออง

คุณสมบัติการกระเจิงแสงของฝุ่นละออง ทำให้แสงของห้องฟ้าในตอนเช้าและตอนเย็นมีสีแดง โดยในช่วงเวลาที่ดวงอาทิตย์อยู่ใกล้ขอบฟ้า แสงสีแดงถูกกระเจิงมากกว่าแสงสีอื่นๆ จึงทำให้เห็นแสงสีแดงมากกว่า ด้วยเหตุนี้เรารู้จักมองเห็นห้องฟ้าเป็นสีแดงในตอนเช้าและเย็น นอกจากนี้ยังสามารถสังเกต ปริมาณฝุ่นอย่างคร่าวๆ ได้จากการดูแสงในตอนเย็น หรือช่วงเวลาที่เรียกว่า ช่วงผีตากผ้าอ้อม ถ้ามีแสงสีแดงมากหรือเกิดเป็นเวลานาน แสดงว่าบรรยากาศมีฝุ่นละอองอยู่มาก

2.1.10 การลดลงของรังสีดวงอาทิตย์เมื่อจากฝุ่นละออง

เมื่อรังสีดวงอาทิตย์เคลื่อนที่จากวิภาคผ่านบรรยากาศของโลกจะถูกทำให้ลดลง (attenuation) โดยกระบวนการดูดกลืน (absorption) และการกระเจิง (scattering) โดยองค์ประกอบต่างๆ ของบรรยากาศ ดังรูปที่ 2.6



รูปที่ 2.6 แสดงการลดลงของรังสีดวงอาทิตย์เมื่อเคลื่อนที่ผ่านบรรยากาศของโลก

โดยทั่วไปกรณีท้องฟ้าปราศจากเมมเราสามารถคำนวณความเข้มรังสีคงอาทิตย์ที่มาถึงพื้นโลกได้โดยอาศัยกฎของ Bouguer (Iqbal, 1983) ได้ดังนี้

$$I_{n\lambda} = I_{on\lambda} \exp(-\tau'_{\lambda} m_a) \quad (2.3)$$

เมื่อ $I_{n\lambda}$ เป็นความเข้มรังสีดวงอาทิตย์ที่ความยาวคลื่น λ ซึ่งผ่านบรรยากาศกระแทบพื้นผิวโลกในแนวตั้งฉาก

$I_{\text{on}\lambda}$ เป็นความเข้มรังสีดวงอาทิตย์ที่ความยาวคลื่น λ ที่เหนือบรรยายกาศโลก

τ'_λ เป็นค่าความลึกเชิงแสงของบรรยายกาศที่ความยาวคลื่น λ

m_a เป็นมวลของอากาศ (air mass)

จากสมการ (2.3) ค่าความลึกเชิงแสงของบรรยากาศเป็นผลมาจากการดูดกลืนและการรบกวนการกระเจิงแสงของแต่ละองค์ประกอบต่างๆ ในบรรยากาศ ในกรณีของค่าความลึกเชิงแสงของการดูดกลืนและการกระเจิงของโมเลกุลอากาศ ไอน้ำ แก๊ส และโอโซน สามารถหาได้เนื่องจากองค์ประกอบเหล่านี้ มีคุณสมบัติในการดูดกลืนและการกระเจิงรังสีคงออาทิตย์ที่แผ่นอน แต่กรณีของฝุ่นละออง การหาค่าความลึกเชิงแสงทำได้ยาก เพราะฝุ่นละอองมีหลายชนิด และแต่ละชนิดมีขนาดและองค์ประกอบที่แตกต่างกัน ดังนั้นถ้าเรารู้ความเข้มรังสีคงออาทิตย์และค่าตัวแปรอื่นในสมการ (2.3) เราจะสามารถคำนวณความลึกเชิงแสงของฝุ่นละอองได้

ในช่วงต้นศตวรรษที่ 20 Angstrom (1929) ได้เสนอสูตรการหาค่าความลึกเชิงแสงของฝุ่นละออง (aerosol optical depth, τ'_{aa}) โดยอาศัยสมการที่เสนอโดย Lundholm ซึ่งเป็นได้ดังนี้

$$\tau'_{\alpha\lambda} = \beta\lambda^{-\alpha} \quad (2.4)$$

β ซึ่งโดยทั่วไปจะเรียกว่าสัมประสิทธิ์ความชุ่มน้ำของอังสตรอม จะเป็นดัชนีปัจจัยปริมาณของผุนละอองในคอลัมน์ของบรรยายกาศ ส่วน α จะมีความสัมพันธ์กับขนาดของผุนละออง โดยทั่วไป β จะแปรค่าอยู่ในช่วง 0-0.5 และ α จะแปรค่าจาก 0-4 เมื่อผุนละอองมีขนาดเล็กมาก α จะมีค่าเข้าใกล้ 4 และเมื่อผุนละอองขนาดใหญ่ α จะมีค่าเข้าใกล้ 0 สำหรับสภาพผุนละอองโดยทั่วไปที่เกิดขึ้นตามธรรมชาติ α จะมีค่าเท่ากับ 1.3 ± 0.5 สำหรับค่า β ในสภาพที่มีความชุ่มน้ำในระดับต่างๆ จะแสดงไว้ดังตารางที่ 2.3

ตารางที่ 2.3 ค่าสัมประสิทธิ์ความขุ่นแม่น้ำของ Angstrom ในสภาพบรรยากาศต่างๆ (Iqbal, 1983)

Atmosphere	Angstrom turbidity coefficient, β
Clean	0.00
Clear	0.10
Turbid	0.20
Very turbid	0.40

ค่า β และ α ก็เช่นเดียวกันกับตัวแปรทางอุตุนิยมวิทยาอื่นๆ กล่าวคือจะเปรียบค่าต่อลดลงทึ้งวัน ซึ่งมีสาเหตุมาจากการเปลี่ยนแปลงของอุณหภูมิ การระเหยของน้ำ และการกลั่นตัวของไอน้ำในบรรยากาศ การเปลี่ยนแปลงนี้อาจทำให้ค่า β และ α เพิ่มขึ้นหรือลดลงแล้วแต่สภาพอากาศ ในกรณีที่ไม่สามารถหาค่า β จากการวัดได้ เราสามารถคำนวณจากค่าทัศนวิสัยได้ โดย Meclatchey and Selby (1927) ได้เสนอแบบจำลองสำหรับคำนวณค่า β จากทัศนวิสัยดังสมการ (2.5)

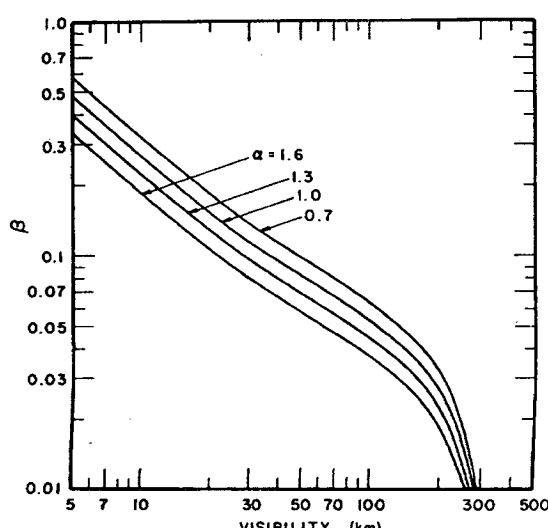
$$\beta = (0.55)^{\alpha} \left(\frac{3.912}{vis} - 0.01162 \right) [0.02472(vis - 5) + 1.132] \quad (2.5)$$

เมื่อ β เป็นสัมประสิทธิ์ความขุ่นแม่น้ำของอังสตรอม (Angstrom's turbidity coefficient)

α เป็นตัวเลขยกกำลังของอังสตรอม (Wavelength exponent)

vis เป็นค่าทัศนวิสัย (km)

ความสัมพันธ์ระหว่าง β , α และทัศนวิสัย สามารถแสดงได้ดังกราฟในรูปที่ 2.7 (Iqbal, 1983)

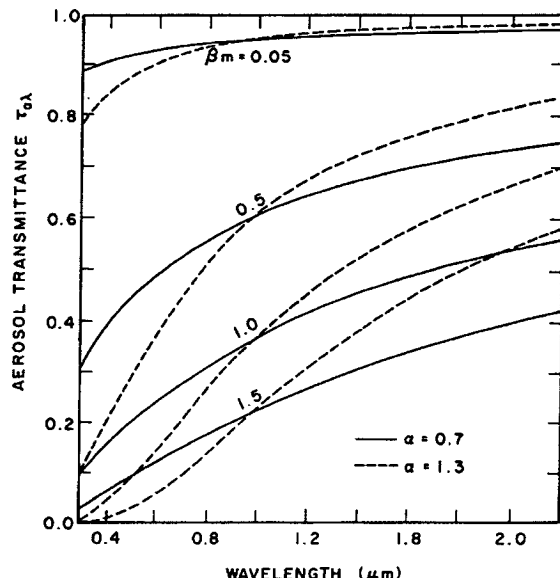


รูปที่ 2.7 การแปรค่าของ β ตามทัศนวิสัย ที่ค่า α (Iqbal, 1983)

จากราฟ ค่า β ที่กำหนดให้เห็นว่า α มีค่าต่ำหรืออนุภาคมีขนาดใหญ่จะสอดคล้องกับค่าทัศนวิสัยสูงๆ หรืออากาศที่มีความโปร่งใสมาก จากสูตรของ Angstrom (1929) เราสามารถเขียนสัมประสิทธิ์การส่งผ่านรังสีคงอาทิตย์ของฝุ่นละออง ได้ดังสมการ

$$\tau_{a\lambda} = \exp(-\beta\lambda^{-\alpha}m_a) \quad (2.6)$$

เมื่อ $\tau_{a\lambda}$ เป็นสัมประสิทธิ์การส่งผ่านรังสีคงอาทิตย์เนื่องจากฝุ่นละอองที่ความยาวคลื่น λ



รูปที่ 2.8 การแปรค่าของสัมประสิทธิ์การส่งผ่านรังสีคงอาทิตย์ของฝุ่นละออง ($\tau_{a\lambda}$) กับความยาวคลื่นที่ βm_a ค่าต่างๆ (กรณีที่ $\alpha = 1.3$ และ 0.7) (Iqbal, 1983)

จากรูปที่ 2.8 แสดงให้เห็นว่าความยาวคลื่นมีความสำคัญต่อ $\tau_{a\lambda}$ ในกรณีการหาค่าสัมประสิทธิ์การส่งผ่านรังสีคงอาทิตย์ของฝุ่นละอองที่เป็นพารามิเตอร์ของทุกความยาวคลื่นหรือสัมประสิทธิ์ในช่วงความยาวคลื่นกว้าง (τ_a) Machler (1983) ได้เสนอให้ใช้สมการ

$$\tau_a = (0.12445\alpha - 0.0162) + (1.003 - 0.125\alpha) \exp[\beta m_a(1.089\alpha + 0.5123)] \quad (2.7)$$

ในกรณีที่ไม่มีข้อมูล β และ α Janjai และคณะ (2009) ได้เสนอสมการสำหรับคำนวณ τ_a จากข้อมูลทัศนวิสัยตามสมการ

$$\tau_a = [1.0358 - 0.3293(\text{vis})^{-0.66}]^{m_a^{(0.9)}} \quad (2.8)$$

Angstrom (1961) ได้เสนอวิธีการคำนวณค่า β โดยการวัดความเข้มรังสีตรงที่ความยาวคลื่น 2 ค่า คือ λ_1 และ λ_2 เมื่อ λ_1 และ λ_2 เป็นความยาวคลื่นที่ไม่มีการคูณกับค่า β โดยใช้ $\lambda_1 = 0.380 \mu\text{m}$ และ $\lambda_2 = 0.5 \mu\text{m}$ จากนั้นใช้สมการ (2.8) กับค่าที่วัดได้ 2 ความยาวคลื่น เพื่อคำนวณหา β และ α โดยในการวัดความเข้มรังสีตรงที่ความยาวคลื่น λ_1 และ λ_2 Angstrom (1964) ได้ใช้เครื่องไฟเซอร์โอมิเตอร์ซึ่งติดแผ่นกรองแสง

เนื่องจากการหาค่า β โดยใช้ไฟเซอร์โอมิเตอร์ ซึ่งติดแผ่นกรองแสงมีความยุ่งยากในการใช้งาน เพราะต้องมีการเปลี่ยนแผ่นกรองแสงระหว่างการวัด ดังนั้นจึงได้มีการพัฒนาอุปกรณ์วัดซึ่งเรียกว่า sunphotometer ที่สามารถวัดความเข้มรังสีดวงอาทิตย์ที่ความยาวคลื่นต่างๆ ได้โดยอัตโนมัติ และนำข้อมูลที่ได้มาหาค่า β และ α ได้สะดวก



รูปที่ 2.9 เครื่อง sunphotometer (CIMEL, model 318)

นอกจากนี้ยังได้มีการพัฒนาเครื่องวัดสถาบันรังสีดวงอาทิตย์ที่ความยาวคลื่นต่างๆ หลายความยาวคลื่น โดยสามารถวัดได้ทั้งรังสีตรง รังสีกระจาย และรังสีรวม ซึ่งสามารถเลือกความเข้มรังสีตรง 2 ความยาวคลื่น มาใช้ในการคำนวณค่า β ได้ อุปกรณ์ดังกล่าวเรียกว่า Multi-filter rotating shadow band radiometer (MFR-7)



รูปที่ 2.10 เครื่อง Multi-filter rotating shadow band radiometer (Yankee, model MFR-7)

นอกจากนี้ Louche และคณะ (1987) ได้พัฒนาวิธีการหาค่า β จากข้อมูลความเข้มรังสีตรงในช่วงความยาวคลื่นกว้าง ($0.29\text{--}2.5 \mu\text{m}$) ที่ได้จากเครื่องวัดไฟเซอร์โอมิเตอร์ รายละเอียดวิธีการดังกล่าวจะกล่าวในบทที่ 3

Unsworth และ Monteith (1972) ได้เสนอสัมประสิทธิ์ Unsworth-Monteith coefficient (Tu) เพื่อแสดงผลของผุ่นละออง ในรูปของอัตราส่วนของบรรยายอากาศที่มีผุ่นละออง กับบรรยายอากาศที่ปราศจากผุ่นละออง ตามสมการ

$$\frac{G_n}{G^*} = \exp(-T_{u\lambda} m_a) \quad (2.9)$$

$$G^* = G_{on} \tau_R \tau_g \tau_w \tau_{oz} \quad (2.10)$$

เมื่อ G_n เป็นค่าความเข้มรังสีคงอาทิตย์ที่พื้นผิวโลกในบรรยายอากาศที่มีผุ่นละออง G^* เป็นค่าเฉลี่ยของความเข้มรังสีคงอาทิตย์ที่พื้นผิวโลกในบรรยายอากาศที่ปราศจากผุ่นละออง τ_R เป็นสัมประสิทธิ์การส่งผ่านรังสีคงอาทิตย์เนื่องจากการระเจิงรังสีของโนมเลกุลอากาศ τ_g เป็นสัมประสิทธิ์การส่งผ่านรังสีคงอาทิตย์เนื่องจากการดูดกลืนของก๊าซต่างๆ τ_w เป็นสัมประสิทธิ์การส่งผ่านรังสีคงอาทิตย์เนื่องจากการดูดกลืนของไอน้ำ τ_{oz} เป็นสัมประสิทธิ์การส่งผ่านรังสีคงอาทิตย์เนื่องจากการดูดกลืนของโอโซน $\exp(-T_{u\lambda} m_a)$ เป็นค่าสัมประสิทธิ์การส่งผ่านรังสีคงอาทิตย์ของผุ่นละออง

ความสามารถจัดรูป Unsworth-Monteith coefficient (Tu) ในสมการ (2.9) ใหม่จะได้สมการคือ

$$T_{\text{u}\lambda} = -\frac{1}{m_a} \ln \left(\frac{G_h}{(G_{sc}/\rho^2) \tau_R \tau_g \tau_w \tau_{oz}} \right) \quad (2.11)$$

Schiiepp (1966) ได้เสนอ Schiiepp turbidity coefficient (B) โดยทำการแทนค่า β ด้วยค่า B ซึ่งจะคล้ายกับค่า β เพียงแต่ค่า B ใช้ \log ฐานสิบแทนการใช้ \log ฐาน e และใช้ความยาวคลื่น $0.5 \mu\text{m}$ แทนการใช้ความยาวคลื่น $1 \mu\text{m}$ โดยความสัมพันธ์ระหว่าง β และ B หาได้ดังสมการ

$$e^{-\frac{\beta}{\lambda_a}} = 10^{-\frac{B}{(2\lambda)^a}} \quad (2.12)$$

$$B = \beta 2^\alpha \log e \quad (2.13)$$

กรณี $\alpha = 1.3$ จะได้

$$B = 1.07\beta \quad (2.14)$$

2.1.11 ฝุ่นละอองและทัศนวิสัย

ทัศนวิสัย (visibility) หมายถึง เกณฑ์การมองเห็นซึ่งเป็นระยะไกลที่สุดที่สามารถมองเห็นได้ ด้วยตาเปล่า ถ้าวัตถุที่เรามองเห็นมัวลงหรือจางลงจากที่เคยเห็นในสภาพปกติแสดงว่าในขณะนั้นทัศนวิสัยลดลงหรือ Lewin ซึ่งสาเหตุสำคัญประการหนึ่งก็มาจากการฝุ่นละออง (aerosols) ที่อยู่ในบรรยากาศเนื่องจากฝุ่นละอองสามารถดูดกลืนและระเบิดแสงที่ผ่านบรรยากาศเข้ามาได้ โดยฝุ่นละอองที่เกิดจากกิจกรรมของมนุษย์ (anthropogenic aerosols) ที่สำคัญเกิดจากการเผาไหม้ชีวมวล (biomass burning) การเผาไหม้เชื้อเพลิงในโรงงานอุตสาหกรรม และยานยนต์ต่างๆ ซึ่งจะมีองค์ประกอบและสมบัติทางฟิสิกส์แตกต่างกัน โดยฝุ่นละอองที่ได้จากการเผาไหม้ชีวมวลจะเป็น organic carbon (OC) สามารถกระเบิดรังสีคงอาทิตย์ได้ถึง 90% (Kaufman et al., 2002) ส่วนฝุ่นละอองที่ได้จากการเผาไหม้ในเครื่องจักรของโรงงานอุตสาหกรรม และยานยนต์ ส่วนใหญ่จะเป็นประเภท black carbon (BC) ซึ่งสามารถดูดกลืนรังสีคงอาทิตย์ได้ถึง 50% เมื่อฝุ่นละอองเหล่านี้ล่องลอยอยู่ในอากาศจะทำให้เรามองเห็นวัตถุมัวลงหรือจางลง ทำให้ทัศนวิสัยลดลง ถ้าสภาพดังกล่าวมีความรุนแรงก็จะทำให้เกิดปัญหาร้ายแรงต่อการจราจรทั้งทางบก ทางน้ำ และทางอากาศ นอกจากนั้นยังส่งผลต่อสุขภาพของประชาชนด้วย ดังเช่นเหตุการณ์หมอกควันป กคลุนตัวเมืองจังหวัดเชียงใหม่ เมื่อกลางเดือนมีนาคม พ.ศ. 2550 หรืออีกหลายเหตุการณ์ในประเทศไทย โคนนีเชีย ซึ่งส่งผลกระทบถึงจังหวัดทางภาคใต้ของประเทศไทย เป็นต้น

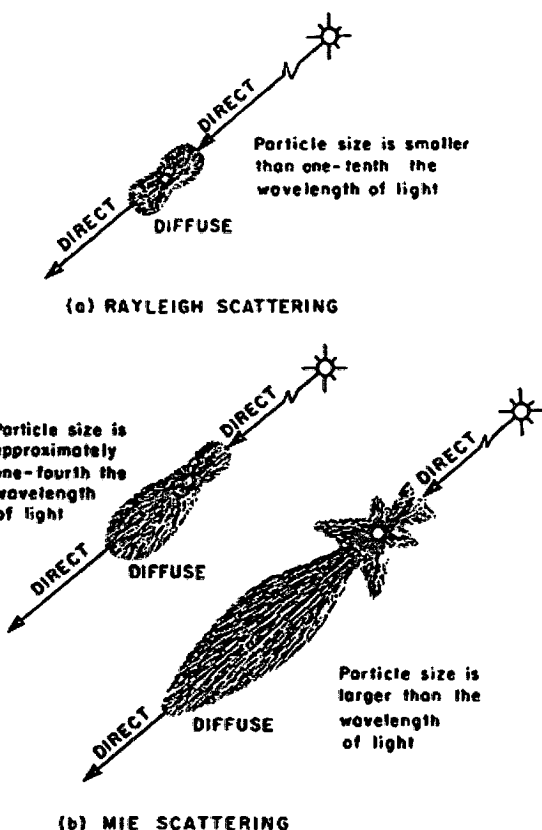
2.1.12 การกระเจิงแสงของฝุ่นละออง

Gustav Mie นักวิทยาศาสตร์ชาวเยอรมันได้ประยุกต์ทฤษฎีแม่เหล็กไฟฟ้าของแมกซ์เวลล์เพื่อคำนวณการกระเจิงแสงของฝุ่นละอองแบบต่างๆ ที่เรียกว่า “Mie Scattering” ซึ่งมีรายละเอียดดังนี้

2.1.12.1 การกระเจิงแสงของอนุภาคเดียว

การกระเจิงแบบ Mie เป็นการกระเจิงของแสงเมื่อแสงตกกระทบอนุภาคที่มีขนาดใกล้เคียงกันหรือใหญ่กว่าความยาวคลื่นแสง โดยพิจารณาการกระเจิงของ Mie นั้นได้จากการแก้สมการคลื่นแม่เหล็กไฟฟ้าของแมกซ์เวลล์เมื่อคลื่นแม่เหล็กไฟฟ้าตกกระทบอนุภาคทรงกลมจากทิศทางที่กำหนดไว้

สำหรับการกระเจิงแสงของโมเลกุลอากาศ ซึ่งมีขนาดของโมเลกุลเล็กกว่าความยาวคลื่นแสงจะเรียกว่า การกระเจิงแบบ Rayleigh ลักษณะการกระเจิงแบบ Rayleigh และการกระเจิงแบบ Mie แสดงดังรูปที่ 2.11



รูปที่ 2.11 การกระเจิงแบบ Rayleigh และการกระเจิงแบบ Mie (Iqbal, 1983)

อนุภาคทรงกลมในแบบจำลองของการกระเจิงแบบ Mie มีผลต่อรังสีที่ตกกระทบทั้งการกระเจิงและการดูดกลืน โดยรังสีจะกระเจิงทุกทิศทาง การกระเจิงและการดูดกลืนที่อนุภาคทรงกลมนี้ อาศัยอยู่จากการลดอนลงไปของรังสีที่ตกกระทบ รังสีที่กระเจิงออกจาอนุภาคทรงกลมตามทฤษฎีของ Mie สามารถเขียนได้ในรูปของฟังก์ชันเชิงซ้อนของ 2 ส่วนคือ A_1 และ A_2 ดังนี้

$$A_1(m, x, \varphi) = \frac{\lambda}{2\pi} \sum_{l=1}^{\infty} \frac{2l+1}{l(l+1)} (a_l(m, x)\pi_l(\varphi) + b_l(m, x)\tau_l(\varphi)) \quad (2.15)$$

$$A_2(m, x, \varphi) = \frac{\lambda}{2\pi} \sum_{l=1}^{\infty} \frac{2l+1}{l(l+1)} (b_l(m, x)\pi_l(\varphi) + a_l(m, x)\tau_l(\varphi))$$

โดยที่	x	คือ ตัวแปรแสดงขนาด (size parameter) โดยที่ $x = \frac{2\pi r}{\lambda}$
	r	คือ รัศมีของอนุภาคทรงกลมที่แสงตกกระทบ
	λ	คือ ความยาวคลื่นแม่เหล็กไฟฟ้าที่ตกกระทบ
	m	คือ ดัชนีหักเหเรืองซ้อนของตัวกลางที่อนุภาคอยู่
	φ	คือ มุมกระเจิงโดยเทียบกับทิศทางตกกระทบ
	l	คือ จำนวนเต็มบวก
	a_l, b_l	คือ สัมประสิทธิ์ของ Mie
	π_l, τ_l	คือ ฟังก์ชันเชิงมุนซึ่งขึ้นกับค่าของ $\cos\varphi$ ในพหุนามของเลของค์ (Legendre polynomials)

ตามทฤษฎีคลื่นแม่เหล็กไฟฟ้าของแม็กซ์เวลล์ เมื่อฟลักซ์รังสีที่ไม่โพลาไรซ์ขนาดหนึ่งหน่วยตกกระทบอนุภาคทรงกลม รังสีต่อหน่วยมุมตันที่กระเจิงในทิศทางต่างๆ หาได้จากการคำนวณของสูตร $\sigma_s = \frac{1}{2} (A_1 A_1^* + A_2 A_2^*)$ สำหรับมุมตันเล็กๆ $d\omega$ และรังสีตกกระทบหนึ่งหน่วยที่ภาคตัดขวาง $d\sigma(m, x, \varphi)$ มีค่าเป็นไปตามสมการ

$$d\sigma(m, x, \varphi) = \frac{1}{2} (A_1 A_1^* + A_2 A_2^*) d\omega \quad (2.16)$$

ค่าความเข้มรังสีกระเจิงทั้งหมดในภาคตัดขวาง (total scattering cross section) σ_{sc} ได้จากการอินทิเกรทมุมตันทั้งหมด Ω ซึ่งมีค่าเท่ากับ 4π หรือเขียนได้ดังสมการ

$$\sigma_{sc}(m, x) = \int_{\Omega} d\sigma(m, x, \phi) = \int_{\Omega} \frac{1}{2} (A_1 A_1^* + A_2 A_2^*) d\omega \quad (2.17)$$

พารามิเตอร์ที่ใช้แทนค่าความเข้มรังสีกระเจิงทั้งหมดในภาคตัดขวาง คือ ค่าสัมประสิทธิ์การกระเจิง Q_{sc} ซึ่งหาได้จากสมการ

$$Q_{sc}(m, x) = \frac{\sigma_{sc}(m, x)}{\pi r^2} \quad (2.18)$$

เช่นเดียวกันกับสัมประสิทธิ์การดูดกลืน Q_{ab} ซึ่งเป็นอัตราส่วนของค่ารังสีที่ถูกดูดกลืนต่อรังสีที่ตกกระทบ เมื่อนำสัมประสิทธิ์การกระเจิงรวมกับสัมประสิทธิ์การดูดกลืน จะได้สัมประสิทธิ์การลดทอนของรังสี (extinction efficiency) ตามสมการ

$$Q_{ext} = Q_{sc} + Q_{ab} \quad (2.19)$$

เมื่อทำการอินทิเกรทค่ารังสีในภาคตัดขวางทั้งหมดโดยแทนค่าสนามไฟฟ้า A_1 และ A_2 จะได้ว่า

$$Q_{sc}(m, x) = \frac{2}{x^2} \sum_{l=1}^{\infty} (2l+1) (|a_l|^2 + |b_l|^2) \quad (2.20)$$

$$Q_{ab}(m, x) = \frac{2}{x^2} \sum_{l=1}^{\infty} (2l+1) \operatorname{Re}(a_l + b_l) \quad (2.21)$$

โดยค่าของ a_l และ b_l หาได้จาก

$$a_l = \frac{\left(\frac{\xi_l}{m} + \frac{1}{x} \right) \operatorname{Re}(\zeta_l) - \operatorname{Re}(\zeta_{l-1})}{\left(\frac{\xi_l}{m} + \frac{1}{x} \right) \xi_l - \zeta_{l-1}} \quad (2.22)$$

$$b_l = \frac{\left(m\xi_l + \frac{1}{x} \right) \operatorname{Re}(\zeta_l) - \operatorname{Re}(\zeta_{l-1})}{\left(m\xi_l + \frac{1}{x} \right) \xi_l - \zeta_{l-1}} \quad (2.23)$$

ໄຊຍ່າ

$$\zeta_1 = \left(\frac{21-1}{x} \right) \zeta_{1-1} - \zeta_{1-2} \quad (2.24)$$

$$\zeta_0 = \sin x + i \cos x \text{ และ } \zeta_{l-1} = \cos x - i \sin x \quad (2.25)$$

$$\xi_1 = -\frac{1}{mx} + \left(\frac{1}{mx} - \xi_{1-1} \right)^{-1} \quad \text{และ} \quad \xi_0 = \frac{\cos mx}{\sin mx} \quad (2.26)$$

2.1.12.2 การกระเจิงของ Mie สำหรับผู้นักออกแบบค่างขนาด

จากเรื่องการกระเจิงแบบ Mie ที่กล่าวไปแล้วนั้น เป็นหลักการสำหรับอนุภาคขนาดเดียว แต่ตามความเป็นจริงแล้วผู้คนจะมองจะมีขนาดต่างกันออกไป จึงต้องนิยามฟังก์ชันการแจกแจงของขนาดของผู้คนจะมอง ได้แก่ $n(r)$ ซึ่งเป็นจำนวนอนุภาคที่มีขนาด r ถึง $r + dr$ ต่อปริมาตรหนึ่งหน่วย

สำหรับปริมาตรของอากาศที่มีผู้ผลิตของอยู่ในระบบ ค่าสัมประสิทธิ์การกระเจิงและสัมประสิทธิ์การดูดกลืนที่ความสูง z จากพื้นโลกจะหาได้จากการ

$$k_{sc}(z) = \int_0^{\infty} \pi r^2 Q_{sc}(r) n(r, z) dr \quad (2.27)$$

$$k_{ext}(z) = \int_0^{\infty} \pi r^2 Q_{ext}(r) n(r, z) dr \quad (2.28)$$

ໄຊຍະນີ

k_{∞} คือ อัตราส่วนของปริมาณรังสีที่กระเจิงออกไปต่อปริมาณรังสีที่ตกกระทบ

k_{ext} คือ อัตราส่วนของปริมาณรังสีที่กระเจิงและดูดกลืนกับปริมาณรังสีตกกระทบ

เมื่อทำการอินทิเกรตค่าของสัมประสิทธิ์ทั้งความสูงคอลัมน์อากาศ จะได้ค่าความลึกเชิงแสงของบรรยากาศทั้งคอลัมน์ ซึ่งบอกความสามารถในการตัดทอนแสงโดยการระเจิง (τ_{sc}) และการตัดทอนแสงทั้งหมด (τ_{ext}) ได้ดังนี้

$$\tau_{sc} = \int_0^{\infty} k_{sc}(z) dz = \int_0^{\infty} \pi r^2 Q_{sc}(r) n_a(r) dr \quad (2.29)$$

$$\tau_{\text{ext}} = \int_0^{\infty} k_{\text{ext}}(z) dz = \int_0^{\infty} \pi r^2 Q_{\text{ext}}(r) n_a(r) dr \quad (2.30)$$

2.1.12.3 การกระเจิงแสงโดยอนุภาคขนาดเล็กและกําช (light scattering by small particles and gases)

ลักษณะของการกระเจิงแสงโดยอนุภาคขนาดเล็กและกําชจะมีความสัมพันธ์เป็นไปตามสมการ

$$S = \frac{128\pi^5 r^6}{3\lambda^4} \times \frac{m^2 - 1}{m^2 + 1} \quad (2.31)$$

เมื่อ S คือ ปริมาณแสงที่ถูกกระเจิง

r คือ รัศมีของอนุภาคหรือของโมเดลกูล

m คือ ดัชนีหักเหของแสง

λ คือ ความยาวคลื่นของแสงที่ตกกระทบ

จากสมการ (2.31) จะเห็นว่าแสงที่ความยาวคลื่นสั้นจะถูกกระเจิงมากกว่าแสงที่ความยาวคลื่นยาว ดังนั้นแสงสีน้ำเงินจึงถูกกระเจิงมากกว่าแสงสีแดงซึ่งมีความยาวคลื่นยาวกว่า เพราะเหตุนี้เราจึงเห็นห้องฟ้าเป็นสีฟ้า

2.1.13 สัมประสิทธิ์การกระเจิงแสงของฝุ่นละออง (Single scattering albedo, SSA)

เมื่อแสงตกกระทบฝุ่นละออง จะถูกฝุ่นละอองกระเจิงไปรอบทิศทาง แสงที่กระเจิงนี้จะไปตกกระทบฝุ่นละอองตัวอื่นและถูกกระเจิงต่อไปเรื่อยๆ ถ้าพิจารณาเฉพาะสัมประสิทธิ์การกระเจิงของแสงที่ตกกระทบครั้งแรก จะเรียกคุณสมบัติการกระเจิงของฝุ่นละอองว่า single scattering albedo หรือ SSA ตัวอย่างของ SSA ของฝุ่นละอองชนิดต่างๆ (Dubovik et al., 2002) แสดงดังตารางที่ 2.4

ตารางที่ 2.4 แสดงตัวอย่าง SSA ของฝุ่นละอองชนิดต่างๆ (Dubovik et al., 2002)

Aerosol type	AERONET site	Period	Single scattering albedo (nm)			
			440	670	870	1020
Urban-industrial	GSFC, Greenbelt, MD	1993-2000	0.98	0.97	0.96	0.95
	Crete-Paris, France	1999	0.94	0.93	0.92	0.91
	Mexico City	1999-2000	0.90	0.88	0.85	0.93
Mixed	Maldives (INDOEX)	1999-2000	0.91	0.89	0.86	0.84
Biomass burning	Amazonian forest, Brazil	1993-1994	0.94	0.93	0.91	0.90
	South American cerrado, Brazil	1993-1995	0.91	0.89	0.87	0.85
	African savanna, Zambia	1995-2000	0.88	0.84	0.80	0.78
	Boreal forest, United States and Canada	1994-1998	0.94	0.935	0.92	0.91
Desert dust	Bahrain-Persian Gulf	1998-2000	0.92	0.95	0.96	0.97
	Solar-Vil.-Saudi Arabia	1998-2000	0.92	0.96	0.97	0.97
	Cape Verde	1993-2000	0.93	0.98	0.99	0.99
Oceanic	Lanai, HI	1995-2000	0.98	0.97	0.97	0.97

2.2 งานวิจัยที่เกี่ยวข้องกับการศึกษาฝุ่นละอองในบรรยากาศ

เมื่อรังสีดวงอาทิตย์เคลื่อนที่ผ่านชั้นบรรยากาศของโลก ในสภาพท้องฟ้าปราศจากเมฆจะมีความเข้มลดลง (attenuation) เนื่องจากกระบวนการต่างๆ ได้แก่ การระเงิงโดยไม่เลกุลของอากาศ หรือ Rayleigh scattering การระเงิงและการดูดกลืนของฝุ่นละอองในบรรยากาศ และการดูดกลืนในบางช่วงของความยาวคลื่นอันเนื่องมาจากก๊าซต่างๆ ในบรรยากาศ (selective absorption) โดยทั่วไปมักไม่มีปัญหานในการคำนวณความเข้มรังสีดวงอาทิตย์ที่ถูกกระเงิงโดยไม่เลกุลของอากาศ และการดูดกลืนบางช่วงของความยาวคลื่นจากไม่เลกุลอากาศ แต่ปัญหาสำคัญอยู่ที่การดูดกลืนและการระเงิงรังสีดวงอาทิตย์ของฝุ่นละอองในบรรยากาศ ทั้งนี้ เพราะฝุ่นละอองมีหลายชนิดแต่ละชนิดมีคุณสมบัติไม่เหมือนกัน นอกจากนี้ยังมีการกระจายในแนวตั้ง และการกระจายตามพื้นที่และเวลาในรอบปีที่มากต่อการศึกษา ถึงแม้ว่าเราจะสามารถใช้ทฤษฎีของ Mie ทำการกระเงิงและการดูดกลืนรังสีดวงอาทิตย์ของฝุ่นละอองได้ก็ตาม แต่ทฤษฎีดังกล่าวมีความ слับซับซ้อนและยากต่อการนำมาใช้ในทางปฏิบัติ ในช่วงต้นทศวรรษที่ 20 Angstrom (1929) เป็นคนแรกที่เสนอวิธีการคำนวณการลดลงของรังสีดวง

อาทิตย์เนื่องจากฝุ่นละออง โดยพิจารณาผลรวมของการลดลงทั้งจากการดูดกลืนและการระเจิงรังสี ดวงอาทิตย์ของฝุ่นละออง และบวกเป็นค่าความชุ่มน้ำของบรรยากาศเนื่องจาก ฝุ่นละออง โดยใช้ค่า Turbidity coefficient (β) ซึ่งมีความสัมพันธ์กับปริมาณฝุ่นละอองในบรรยากาศ ต่อมาก็ได้ ตั้งสมมติฐานว่าการลดลงของรังสีดวงอาทิตย์เนื่องจากฝุ่นละออง เกิดจากการระเจิงเพียงอย่างเดียว และได้เสนอสูตรสำหรับการคำนวณค่า scattering coefficient ของฝุ่นละออง

ในช่วงทศวรรษที่ 1930 เป็นต้นมา นักวิจัยของประเทศสหภาพรัสเซียได้ทำการศึกษาความเข้ม รังสีดวงอาทิตย์ ทั้งยังพัฒนาอุปกรณ์วัดและทฤษฎี งานวิจัยที่สำคัญอีกชิ้นหนึ่งของนักวิจัยชาวรัสเซีย คือการศึกษาการลดลงของรังสีดวงอาทิตย์เนื่องจากฝุ่นละออง โดยอาศัยการวัดรังสีตรงที่พื้นผิวโลก ซึ่งดำเนินการโดย Genikhovich ในงานดังกล่าวผู้วิจัยได้ใช้ข้อมูลความเข้มรังสีตรงซึ่งวัดได้ที่เมือง Repetek ในเดือนตุลาคม ค.ศ. 1970 มาทำการวิเคราะห์ ในการวัดดังกล่าวได้ใช้แผ่นกรองแสงมาช่วยตัดแสงใน บางความยาวคลื่นออกไป จากนั้นจึงทำการคำนวณหาค่าความลึกเชิงแสง (aerosol optical depth) ในช่วงความยาวคลื่น 0.38- 0.53 μm และ 0.53- 0.69 μm จากผลการวิเคราะห์พบว่าค่าความลึกเชิงแสง ที่ได้มีการเปลี่ยนแปลงตามเวลาในรอบวัน และค่าความลึกเชิงแสงในช่วงความยาวคลื่น 0.38- 0.53 μm มีค่าสูงกว่าในช่วง 0.53- 0.69 μm

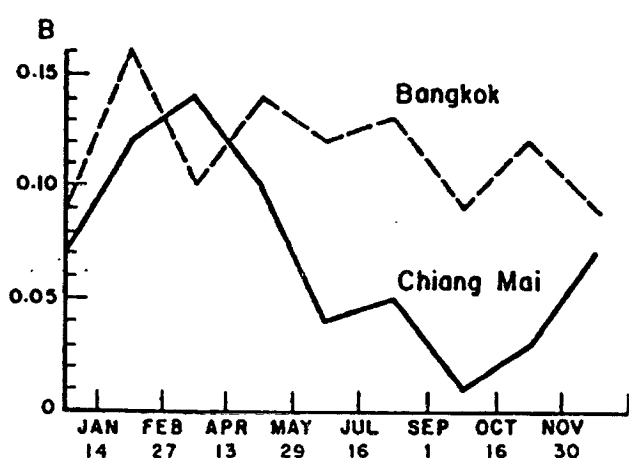
Watt (1978) ได้ทำการศึกษาองค์ประกอบของบรรยากาศในวันที่ห้องฟ้าปราศจากเมฆที่มีผลต่อ การลดลงของรังสีดวงอาทิตย์ สรุปได้ว่าตัวแปรที่มีผลต่อการลดลงของรังสีดวงอาทิตย์คือ โอโซน 0.5- 3.0% โมเลกุลอากาศแห้ง 11-13% ไอน้ำ 3.5-14% และฝุ่นละอองในอากาศ 0.1-26%

ในช่วงทศวรรษ 1970 เป็นต้นมา ได้มีการนำเทคนิคการใช้ข้อมูลความเที่ยมนาซวยในการศึกษา ค่าความเข้มรังสีดวงอาทิตย์ที่พื้นผิวโลก เช่น ในประเทศไทย Dr. Nunez แห่งมหาวิทยาลัย Tasmania ได้พัฒนาการใช้ข้อมูลความเที่ยมในการคำนวณค่าความเข้มรังสีดวงอาทิตย์ ซึ่งมีผลงานตั้งแต่ ช่วงปลายทศวรรษ 1970 ต่อเนื่องมาจนถึงปัจจุบัน ในงานวิจัย Nunez (1993) ได้ใช้ข้อมูลความเที่ยม อุตุนิยมวิทยา GMS ทำการศึกษาค่าความเข้มรังสีดวงอาทิตย์ที่ต่อกำแพงพื้นผิวโลกในบริเวณเขตวัน ของมหาสมุทรแปซิฟิก ซึ่งครอบคลุมพื้นที่บางส่วนของประเทศไทย พิลิปปินส์ อินโดนีเซีย และ ภาคเหนือของประเทศไทย ตามโครงการ Tropical Ocean Global Atmosphere (TOGA) ใน โครงการดังกล่าว Dr. Nunez ได้พัฒนาแบบจำลองเชิงพิสิกส์ซึ่งใช้คำนวณค่าความเข้มรังสีดวงอาทิตย์ ในเขตวัน ได้คิด จากการวิจัยนี้ (Nunez, 1993) พบว่าฝุ่นละอองในอากาศจะดูดกลืนและการระเจิงรังสีดวง อาทิตย์โดยฝุ่นละอองบริเวณกรุงเทพมหานคร มีผลทำให้รังสีดวงอาทิตย์ลดลง 19 %

นับตั้งแต่ปี 2000 เป็นต้นมา องค์การนาซา (NASA) ของประเทศไทย ได้จัดตั้ง เครือข่ายเครื่อง sunphotometer ทั่วโลก และเรียกเครือข่ายดังกล่าวว่า AERONET (Aerosol Robotic Network) ซึ่งปัจจุบันมีสถานีทั้งหมด 655 แห่ง โดยมีเป้าหมายเพื่อศึกษาสมบัติเชิงแสง (optical properties) ปริมาณและชนิด รวมถึงการเปลี่ยนแปลงของฝุ่นละอองทั่วโลก

Estelles และคณะ (2003) ได้ทำการเปรียบเทียบค่าความลึกเชิงแสงของ ผุ่นละออง ที่เมือง Valensia ที่ความยาวคลื่น 500 nm ของ 2 ฤดู คือ ฤดูร้อน และฤดูหนาว พบร่วมกันว่าในฤดูหนาวมีค่าความลึกเชิงแสงต่ำที่สุดในเดือนกรกฎาคม คือ 0.1 และมีค่าสูงในฤดูร้อนเท่ากับ 0.4-0.5 ในเดือนมิถุนายน ขณะเดียวกันได้ทำการหาค่า wavelength exponent (α) โดยในเดือนกรกฎาคมมีค่าเท่ากับ 1.2 และในเดือนมิถุนายนมีค่า 0.8

สำหรับในประเทศไทย Exell (1978) สถาบันเทคโนโลยีแห่งเอเชียได้ทำการหาค่าสภาพญี่ปุ่นแม้ของบรรยากาศ (atmospheric turbidity) โดยอาศัยตารางคำนวณค่าความเข้มรังสีดวงอาทิตย์ในสภาพท้องฟ้าปราศจากเมฆของ Schiiepp (Robinson, 1966) จากตารางดังกล่าวสามารถหาค่าความเข้มรังสีดวงอาทิตย์ในสภาพท้องฟ้าปราศจากเมฆ ถ้าทราบปริมาณไอน้ำในอากาศ และการลดลงของรังสีดวงอาทิตย์เนื่องจากผุ่นละออง Exell ได้ใช้ข้อมูลความเข้มรังสีดวงอาทิตย์ของสถานีกรุงเทพมหานคร และเสียงใหม่ ในวันที่ท้องฟ้าปราศจากเมฆมาคำนวณหาสัมประสิทธิ์ความญี่ปุ่นแม้ของอากาศ (turbidity coefficient) โดยใช้ตารางของ Schiiepp ผลที่ได้แสดงในรูปที่ 2.12



รูปที่ 2.12 การแปลงค่าของ turbidity coefficient (B) ที่กรุงเทพมหานครและเชียงใหม่ (Exell,1978)

ต่อมาอีก 25 ปี Janjai และคณะ (2003) นักวิจัยของห้องปฏิบัติการฟิสิกส์บรรณาการ มหาวิทยาลัยศิลปากร ได้ทำการศึกษาสภาพความชุ่มน้ำของบรรยากาศในประเทศไทยของสถานีต่างๆ ทั้งหมด 53 สถานี ซึ่งตั้งกระจายกันอยู่ทั่วประเทศไทย โดยใช้วิธีต่างๆ 3 วิธี เพื่อหาค่า Angstrom's turbidity coefficient (β) คือ วิธีของ Langley วิธีของ Louche และวิธีคำนวณจากข้อมูลทัศนวิสัย ในช่วง พ.ศ. 1998-2000 จากผลการวิจัยพบว่าในภาคเหนือ ภาคตะวันออกเฉียงเหนือ และภาคกลาง ค่า β มีค่า สูงในช่วงฤดูแล้ง (พฤษภาคม-เมษายน) และมีค่าต่ำในช่วงฤดูฝน (พฤษภาคม-ตุลาคม) สำหรับภาคใต้ ค่า β ก่อนข้างต่ำและมีค่าเกือบคงที่ตลอดทั้งปี

ต่อมา Pipat และ Surapong (2004) แห่งสถาบันเทคโนโลยีแห่งเอเชีย (AIT) ได้ทำการศึกษา สภาพความชุ่มน้ำของบรรยากาศที่ AIT โดยทำการเปรียบเทียบจาก 3 วิธี คือ Linke factor (T_L), Angstrom coefficient (β) และ Illuminance turbidity factor (T_{il}) โดยใช้ข้อมูลจาก sunphotometer ตั้งแต่เมษายน 2000 ถึง มิถุนายน 2002 จากผลการวิจัยพบว่าทั้ง 3 วิธีให้ผลที่สอดคล้องกันคือ ค่า β จะมี ค่าต่ำในช่วงเดือนกันยายน ถึงเดือนกุมภาพันธ์ ซึ่งค่าเฉลี่ยรายปีจะเท่ากับ 0.098 และในช่วงฤดูแล้งฝุ่น ละอองจะมีขนาดเล็ก และมีขนาดใหญ่ในเดือนมีนาคมถึงสิงหาคม โดยมีค่าเฉลี่ยของตัวเลขยกกำลังของ อังสตรอม (α) เท่ากับ 1.3 ± 0.5

นอกจากนี้ Janjai และคณะ (2009) ได้ทำการศึกษาสมบัติของฝุ่นละอองในกรุงเทพและ ปริมณฑล พบว่า ฝุ่นละอองในบริเวณดังกล่าวมีค่าความลึกเชิงแสง (aerosol optical depth) ก่อนข้างสูง ในช่วงฤดูแล้งและมีค่าต่ำในช่วงฤดูฝน

เนื่องจากข้อมูลและองค์ความรู้เกี่ยวกับฝุ่นละอองในประเทศไทยยังมีค่อนข้างจำกัด ดังนี้ใน งานวิจัยนี้ผู้วิจัยจึงทำการศึกษาภาวะของฝุ่นละอองในประเทศไทยโดยการวัด และการคำนวณจาก ข้อมูลภาพถ่ายดาวเทียม ตามรายละเอียดในบทถัดไป